

НАБЛЮДЕНИЕ СПИНОВОЙ ПРОЗРАЧНОСТИ МЕТАЛЛА В ИМПУЛЬСНОМ РЕЖИМЕ

Л.И.Медведев, Р.Г.Мустафин, И.Г.Замалеев,
Э.Г.Харахашьян

Явление селективной спиновой прозрачности в металле впервые наблюдено в импульсном режиме. Обсуждены особенности нестационарного метода, определены кинетические характеристики электронов проводимости в литии.

Для исследования парамагнитного резонанса электронов проводимости (ПРЭП) в металлах успешно используется так называемый метод прохождения, в котором резонансное наблюдение спин-системы электронов проводимости (ЭП) осуществляется на одной поверхности плоскокапараллельного образца, а регистрация сигнала на противоположной. В основе этого метода лежит явление селективной прозрачности металлов, связанное с диффузионным переносом спиновой намагниченности ЭП вглубь металла на расстояние существенно превышающее глубину скин-слоя¹. До настоящего времени это явление наблюдалось в ст-

ционарном режиме (см., например, обзоры ²). Было показано, что метод прохождения обладает рядом преимуществ, позволивших исследовать металлы, недоступные традиционному методу ПРЭП, и наблюдать некоторые спин-волновые эффекты.

В данной работе сообщается о первом наблюдении спиновой прозрачности металла в импульсном режиме. Теория импульсной спиновой прозрачности была развита в работе ³.

Для наблюдения ПРЭП на прохождение в импульсном режиме была создана установка, включающая в себя генератор на основе магнетрона (мощность в импульсе $7 \cdot 10^3$ Вт, частота $9,4 \cdot 10^9$ Гц, длительность импульсов $30 \div 100$ нс), волноводный тракт с развязкой более 150 дБ, передающий и приемный резонаторы, систему регистрации с накоплением на основе мини-ЭВМ. В качестве образцов использовался металлический литий, напыленный в вакууме в виде пленок с толщинами 20, 25, 35 мкм. Пленка служила общей стенкой передающего и приемного резонаторов.

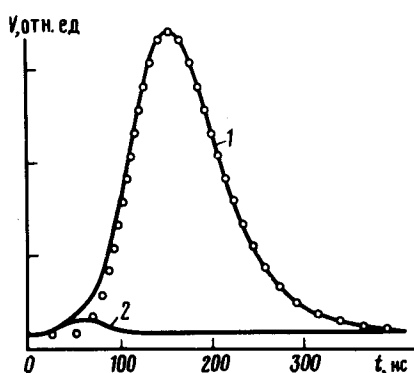


Рис. 1. Кривая 1 – сигнал индукции ЭП пленки лития толщиной 35 мкм, измеренный методом прохождения при комнатной температуре и величине постоянного магнитного поля H_0 , соответствующей резонансному значению. Кривая 2 – импульс передатчика, наблюдаемый при сильной расстройке H_0 от резонансного значения. Кружочками показана теоретическая форма сигнала индукции $W(t)$ для значений $d = 35$ мкм, $T_V = 40$ нс, $D = 12$ см 2 /с

На рис. 1 показан типичный сигнал спиновой индукции, регистрируемый в приемном резонаторе, при возбуждении передающего резонатора одиночными импульсами с длительностью 30 нс (кривая 1). Кривая 2 на рис. 1 соответствует "паразитному" сигналу, связанному с мощностью, просачивающейся в приемный резонатор, минуя спиновой канал.

Теоретическая форма сигнала индукции в режиме прохождения от бесконечно короткого импульса генератора дается выражением ³:

$$V(t) = A \frac{1}{\sqrt{t}} \exp \left\{ -\frac{d^2}{2Dt} - \frac{t}{T_V} \right\}, \quad (1)$$

где A – не зависящий от времени коэффициент; d – толщина пленки металла, T_V – время спиновой релаксации в объеме металла, D – коэффициент диффузии ЭП металла. Как видно из выражения (1), из-за диффузии ЭП амплитуда сигнала индукции сначала возрастает с течением времени, так как при этом происходит приток возбужденных ЭП на противоположную сторону пленки металла. С другой стороны, релаксация в объеме металла уменьшает наблюдаемый сигнал. Для импульса конечной длительности выражение (1) должно быть

проинтегрировано по форме $f(\tau)$ – импульса генератора: $W(t) = \int f(\tau) V(t - \tau) d\tau$. Варьируя параметры D и T_V в $W(t)$ можно достичь хорошего совпадения теории с экспериментом (см. рис. 1). Необходимо отметить, что форма сигнала индукции несет однозначную информацию как о величине D , так и о T_V , поскольку нарастание сигнала, в основном, оп-

ределяется коэффициентом диффузии D , а спад — временем релаксации T_V . Причем 10%-е отклонение одного из этих параметров приводит к заметному расхождению теоретической и экспериментальной кривых. Таким образом, метод импульсной прозрачности позволяет определять кинетические и релаксационные характеристики ЭП. В частности, в настоящей работе получено, что коэффициент диффузии ЭП в литии: при комнатной температуре $D = 12 \pm 3 \text{ см}^2/\text{с}^1$, что согласуется с ранее измеренными значениями ⁴.

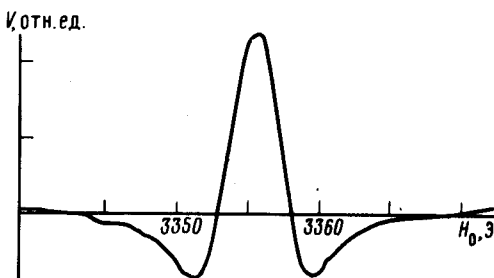


Рис. 2. Зависимость амплитуды сигнала индукции от постоянного магнитного поля H_0

В заключение отметим, что импульсный метод также полностью сохраняет ту информацию, которую обычно извлекают в стационарном методе прохождения. Для иллюстрации этого на рис. 2 приведена зависимость амплитуды сигнала индукции отстройки резонанса (постоянного магнитного поля), которая является аналогом резонансной кривой в стационарном методе прохождения.

Авторы выражают благодарность А.Р.Кесселю, И.А.Гарифуллину, В.А.Жихареву за обсуждение результатов работы.

Литература

1. Азбель М.Я., Герасименко В.И., Либшиц И.М. ЖЭТФ, 1957, 31, 357.
2. Lewis R.B., Carver T.R. Phys. Rev., 1967, 155, 309; Силин В.П. ФММ, 1970, 29, 681.
3. Жихарев В.А., Кессель А.Р. ЖЭТФ, 1974, 67, 1758.
4. Cherkasov F.G., Kharakhash'yan E.G., Yudanov V.F. Phys. Lett., 1975, A50, 399; Замалеев И.Г., Харашьян Э.Г. Письма в ЖЭТФ, 1978, 27, 677.

Казанский физико-технический
институт Казанского филиала
Академии наук СССР

Поступила в редакцию
29 июня 1983 г.

¹⁾ Сравнительно большая погрешность определения D связана с погрешностями измерения толщины образцов в нашем эксперименте.